

# Implementación HW/SW de Arquitecturas de Clasificación de Paquetes en Lógica Reconfigurable

Luis Roberto Romano,      Jairo Nicolás Trad

Universidad Nacional de Córdoba

# Índice general

# Índice de figuras

# Índice de cuadros

## Capítulo 1

# Introducción

## Capítulo 2

# Sistema

En este capítulo se introduce brevemente una serie de conceptos que fueron utilizados para la realización del presente proyecto integrador. No se pretende que el lector alcance una comprensión exhaustiva de los mismos, sino que tenga las herramientas necesarias para la correcta interpretación de los capítulos posteriores. De manera paralela se introducen los bloques básicos que formarán parte del sistema planteado.

### 2.1. Sistemas Embebidos y Lógica Reconfigurable

### 2.2. Redes de Computadoras

\*-\*-\* Esto queda como reserva de datos que después vamos a usar\*\*\*\*

Uno de los mayores cuellos de botella en los routers lo constituye el cómputo de del prefijo más largo para cada paquete entrante.

Implementar ciertos esquemas de clasificación en hardware se ve limitado principalmente debido a 2 factores: La cantidad de memoria requerida y la complejidad creciente de los mismos.

En tanto crece el tráfico en las redes se ve la necesidad de implementar esquemas más complejos de clasificación.

Dichos esquemas tienen una implementación más sencilla en software. Dichas implementaciones están ampliamente difundidas en la web. Esto hace innecesario tener que “adaptarlas” a un HDL. El paso es trivial (corregir esta redacción)

### 2.3. FPGA

Son dispositivos lógicos programables cuya lógica interna puede ser re-configurada. Esta característica permite implementar un diseño propio, con la posibilidad de efectuar la cantidad necesaria de pruebas hasta llegar a los resultados deseados. Se puede instanciar componentes usando la lógica interna (ej microprocesadores, PLL, Memorias, etc).

### 2.4. Sistemas embebidos

Aunque se pone mucho foco en el diseño de los procesadores de propósito general en la realidad estos solo representan solo una pequeña proporción de los procesadores efectivamente producidos cada año. Existe una especial motivación en la industria por los denominados “Procesadores Heterogéneos” que integran sistemas dedicados con procesadores de propósito general.

(acá se podría poner algunas generalidades sobre Ethernet e IP)

(también se podría agregar algo del problema del prefijo más largo)

El sistema implementado en el presente trabajo consta de un microprocesador NIOS2/f interconectado mediante un bus Avalon-MM a 5 componentes:

- PLL
- JTAG UART
- Interfaz con SDRAM
- Timer
- Módulo extractor de cabeceras

A su vez, éste último está conformado por un generador de paquetes Ethernet conectado a una FIFO. Esta está a su vez conectada a un módulo denominado delay buffer, que está conectado al módulo uplink y al write output.. Uplink a su vez está conectado también a write output.

Sobre el hardware descrito anteriormente se ejecuta un software de clasificación de paquetes, que se encuentra almacenado en una memoria RAM.

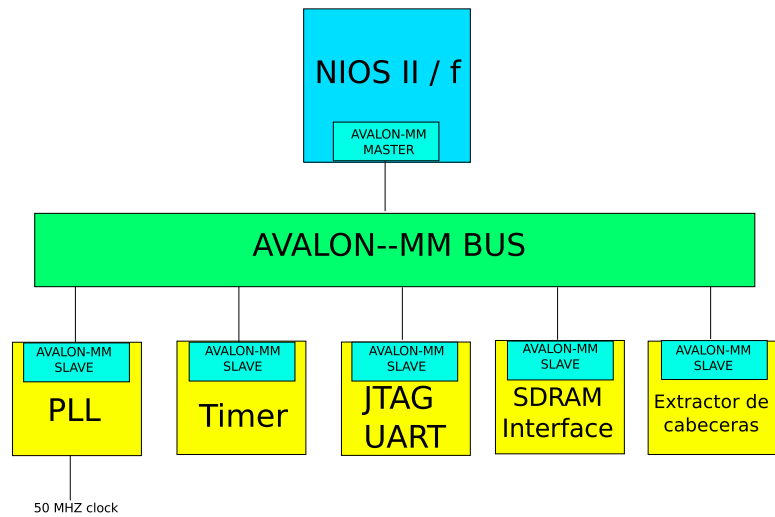


Figura 2.1: Sistema

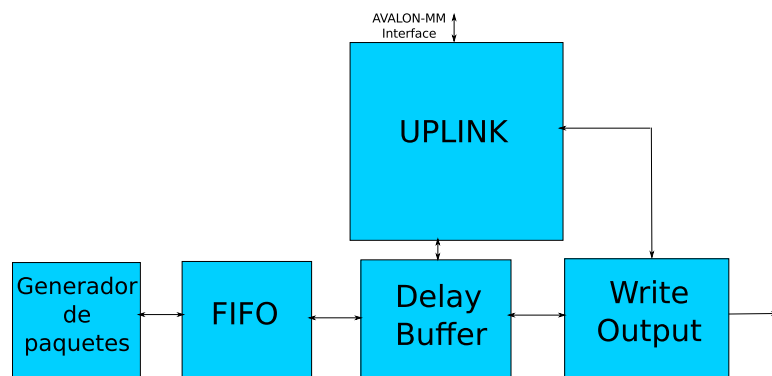


Figura 2.2: Extractor de cabeceras



## Capítulo 3

# Arquitectura

### 3.1. Parte HW

#### 3.1.1. Componentes del sistema

##### **NIOS II**

Es un microprocesador softcore. Esto significa que el mismo es instanciado usando la lógica propia de la FPGA. En este diseño, ejecuta un software de clasificación de paquetes que se almacena en una memoria SDRAM en la placa de desarrollo.

##### **PLL**

Este módulo toma como entrada una señal de clock de 50 MHz de frecuencia y la bifurca en 2: Una de ellas alimentará al módulo que oficia de interfaz con la memoria SDRAM y la otra hará lo propio con el resto de los componentes del sistema. Estas señales están defasadas entre sí 60° con el fin de evitar el skew producido por la diferencia entre la llegada del clock a la memoria y al resto del sistema.

##### **Timer**

Módulo utilizado para llevar estadísticas de retardo dentro del software.

##### **JTAG UART**

Este módulo permite interactuar con el sistema vía USB. Esto implica tanto la configuración de la FPGA, como también la posibilidad de ver la

ejecución del software en una consola.

### **Interfaz con SDRAM**

Tiene la función de interconectar al sistema con la memoria SDRAM de la placa de desarrollo.

### **Extractor de cabeceras**

Este módulo extrae cabeceras de paquetes Ethernet y las envía al software, donde son procesadas y devueltas. Su funcionamiento se detallará a continuación.

#### **3.1.2. Módulo extractor de cabeceras**

(..esta parte completala vos...)

### **3.2. Parte SW**

Se implementaron 2 algoritmos de clasificacion: Búsqueda lineal y Búsqueda en árbol unibit.

El software utilizado para realizar las pruebas consistió en 2 proyectos por separado. Uno para cada tipo de búsqueda en la tabla.

El mismo fue desarrollado en lenguaje c++, por presentar éste ciertas facilidades para las implementaciones llevadas a cabo. Puntualmente se sacó ventaja de un STL container (list) para implementar la búsqueda lineal. Esta plantilla cuenta con, entre otras cosas, la posibilidad de ordenar la lista con sólo una llamada a función.

Para efectuar el intercambio de datos con el hardware se hizo uso de las macros IOWR e IORD, las cuales escriben y leen respectivamente los datos hacia/desde un componente conectado al bus Avalon MM. La razón de haber usado dichas macros yace en el hecho de que las mismas no son cacheadas". Esta característica se torna indispensable en este diseño, ya que en el mismo no se puede leer un dato sin saber si está verdaderamente disponible en el bus.

#### **3.2.1. Búsqueda lineal**

Se implementó en una lista enlazada, creada a partir del template list de c++. Los nodos de la lista contienen 3 campos:

- Dirección de red (entero de 32 bit sin signo)
- Máscara de red (entero de 32 bit sin signo)
- Identificador de decisión (entero de 32 bit con signo)

Como se le dió prioridad a los prefijos de red más largos, se debió sobrecargar el operador de comparación (`>`) para que la función `sort` pudiese ordenar en base a la longitud de máscara. De esa manera, los nodos que contenían valores de máscara más grandes quedaban en las primeras posiciones de la lista.

Cuando la función encargada del lookup recibe una dirección IP de destino, realiza los siguientes pasos:

- Coloca un iterador al comienzo de la lista.
- Realiza un AND con el valor de máscara del nodo que está siendo apuntado. Si el resultado de la operación es igual al valor de dirección de red de dicho nodo, entonces se retorna con el valor identificador de decisión. En otro caso, continúa la búsqueda en el siguiente nodo.

### 3.2.2. Búsqueda en Arbol unibit

Se implementó una clase en la cual se definieron las características de los nodos del arbol, como así tambien las operaciones de inserción y búsqueda. Cada nodo cuenta con los siguientes campos:

- `gw`: es un identificador de la decisión a tomar. En los nodos no asociados a una decision, tiene el valor estipulado en la macro `NONE`.
- `zero / one`: Son punteros a nodo, asociados a los bits 0/1 del prefijo que se esté leyendo.

En este contexto, pueden existir 2 tipos de nodo:

- Común: Está asociado a la macro `NONE`. La misma lo diferencia del nodo decisión.
- Decisión: Contiene en el campo `gw` un valor que identifica a la decisión a tomar.

El algoritmo de búsqueda toma como entrada la dirección IP de destino del paquete a clasificar. Luego de ello, va haciendo un testeo bit a bit de

la misma, partiendo con un puntero de recorrido desde el nodo raíz. Si el bit de la dirección es 0 y el puntero zero está apuntando hacia algun nodo, el puntero de recorrido se mueve al nodo apuntado por el puntero zero. En caso contrario, se mueve al nodo apuntado por one (En caso de que exista). Esto se repite nodo a nodo, hasta que:

- El puntero de recorrido queda varado en un nodo decision, con lo cual se retorna el valor de gw. Ó
- El puntero de recorrido queda varado en un nodo común.

Contemplando esta última posibilidad, el algoritmo hace que en cada nodo se chequee si se trata de un nodo decisión. En dicho caso, se almacena el campo gw en una variable y se continua el recorrido. Si se da un caso en el cual el nodo de recorrido queda apuntando a un nodo comun y luego de testear un bit se determina que el mismo no tiene un nodo asociado (es decir, que alguno de los punteros zero / one esté en NULL) la funcion retorna la variable anteriormente mencionada.

### 3.2.3. Cache

Se implementó una cache directa. La misma consta de una tabla hash de 16 entradas. Las colisiones se resuelven por reemplazo directo. La misma fue testada con ambos algoritmos mencionados anteriormente. Para ello, se agregó una lógica adicional que consistió en:

- Al tomar una direccion IP, chequear primero si el valor de decisión se encuentra en caché.
- Si está, retornar dicho valor.
- En otro caso, efectuar el lookup y almacenar el valor de decisión en caché.

## Capítulo 4

# Implementación

## Capítulo 5

# Resultados

En este capítulo se presentan los datos obtenidos de la ejecución del proyecto bajo ciertas condiciones representativas, con la intención de validar la funcionalidad y también de encontrar los alcances y límites del mismo. Primero se estudiara el tiempo de respuesta de los algoritmos por separado, más tarde el rendimiento en la configuración mas simple, luego el sistema completo bajo condiciones de configuración varias y por ultimo el estudio de la mejora introducida por el uso de la cache.

### 5.1. Caso Algoritmos únicamente

Con la intención de obtener un gráfico que represente el rendimiento de los dos algoritmos implementados, se medirá el retardo de búsqueda en función de la posición en la tabla de enrutamiento, se realizaran las pruebas de manera independiente al modulo extracto de cabeceras. En el eje de las abscisas se expresa la ubicación en una tabla de 100 elementos y en las ordenadas se puede observar el tiempo de búsqueda en ciclos de reloj.

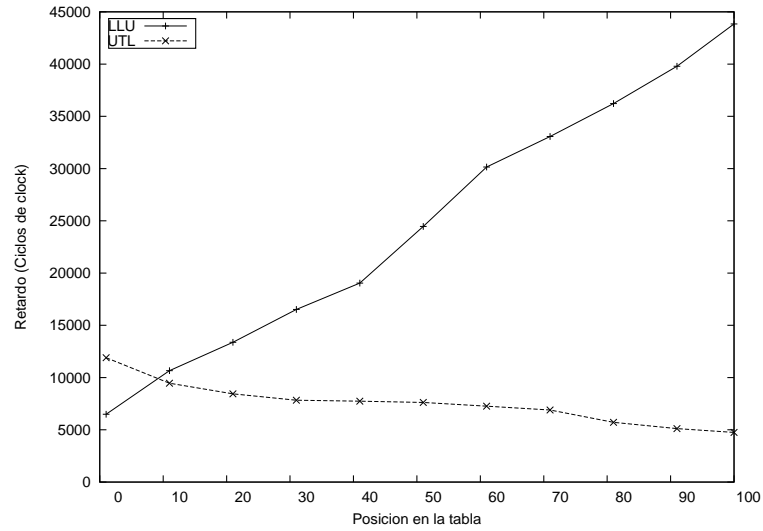


Figura 5.1: Retardo de Búsqueda LLU vs UTL

## 5.2. Caso loopback

Se estudia del caso loopback a los fines de encontrar los limites superiores de nuestro diseño. En este, el software solo se limita a recibir los datos e inmediatamente después confirma el procesamiento y envía los resultados de regreso al hardware. Se realizan las pruebas correspondientes para las dos versiones de Uplink. En el eje de las abscisas es posibles ver la cantidad de paquetes por segundo, el origen corresponde a la mayor velocidad a la que es posible transmitir sin perdidas. En las Ordenadas se puede observar la cantidad de paquetes perdidos en valores porcentuales, para obtener esta métrica se proceso una cantidad constante de paquetes, 9000, y luego se contrasto este valor con un contador global que el Generador estampa en la ultima palabra de cada paquete. Así se calculo la cantidad paquetes perdidos, sobre la cantidad total de paquetes generados. Este mismo sistema es el usado en todos los gráficos posteriores.

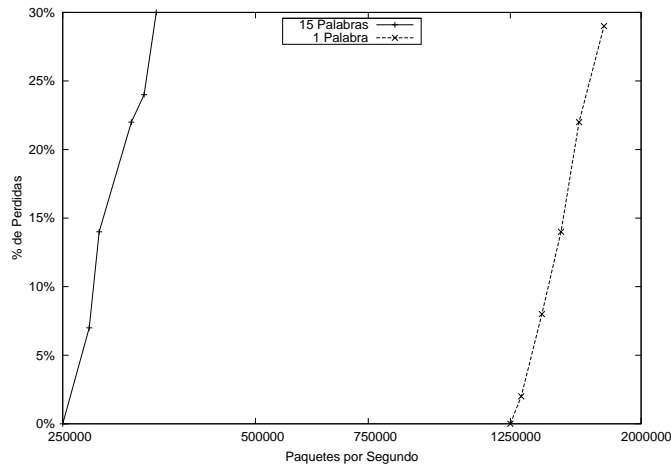


Figura 5.2: Caso Loopback para 1 y 15 palabras

### 5.3. Implementación Completa

Se verificara el rendimiento del sistema implementado de manera completa. Se consideran seleccionaran tres puntos en las curvas que indican los tiempos de accesos del algoritmos, un punto mínimo que corresponde al menor tiempo de acceso, un punto promedio que ejercita 10 entradas equidistantes a lo largo de la tabla y un punto máximo que indica el peor tiempo de acceso posible para un Algoritmo dado.

#### Linear Lookup

En la figura ?? se puede observar que la diferencia en la cantidad de paquetes que pueden ser transmitidos sin errores en el mejor caso entre el modulo que envía una palabra al procesador y el que envía toda la cabecera, es considerable, mientras que a medida que aumenta la profundidad de búsqueda en la tabla estos valores convergen, como es posible ver en la figuras ?? y ??, lo que era esperable ya que para accesos muy lentos a la tabla el retardo introducido por el Hardware se vuelve despreciable.



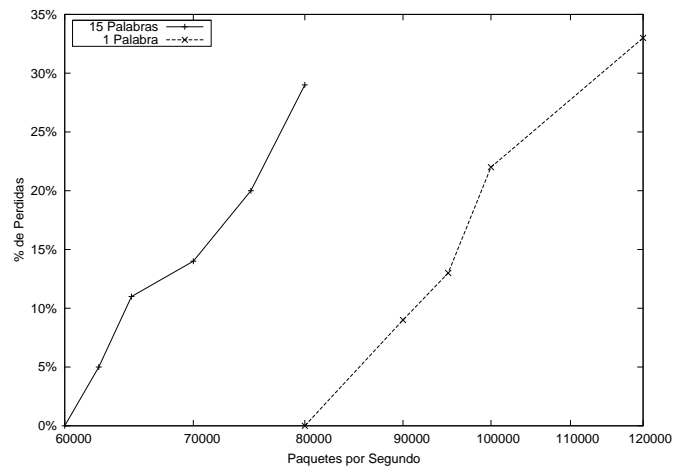


Figura 5.3: Retardo mínimo LLU

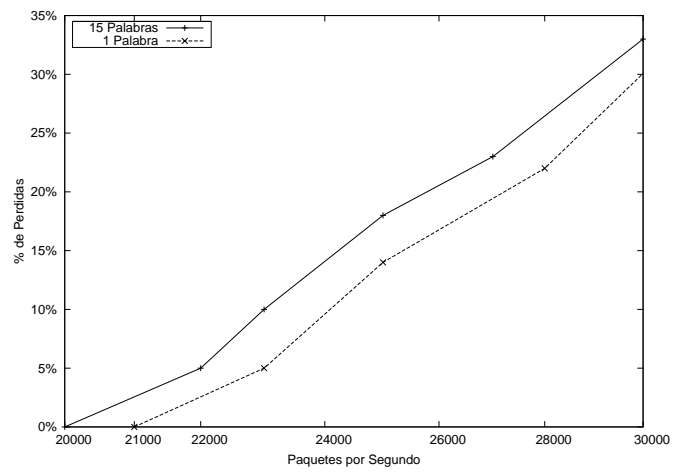


Figura 5.4: Retardo promedio LLU

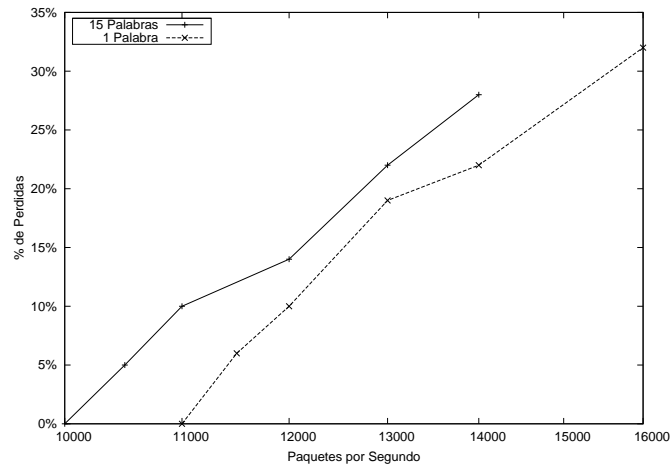


Figura 5.5: Retardo máximo LLU

### Unibit Trie Lookup

En los gráficos que corresponden al Unibit Trie Lookup es posible observar que existe una menor diferencia entre la máxima cantidad de paquetes que pueden ser transmitidos sin error en cada uno de los 3 puntos elegidos. Así como también la diferencia entre enviar el paquete entero y solo la IP destino se reduce, lo que da la pauta de que cuando el tiempo de acceso es uniforme el impacto de la mejoras del Hardware tiende a ser menor.

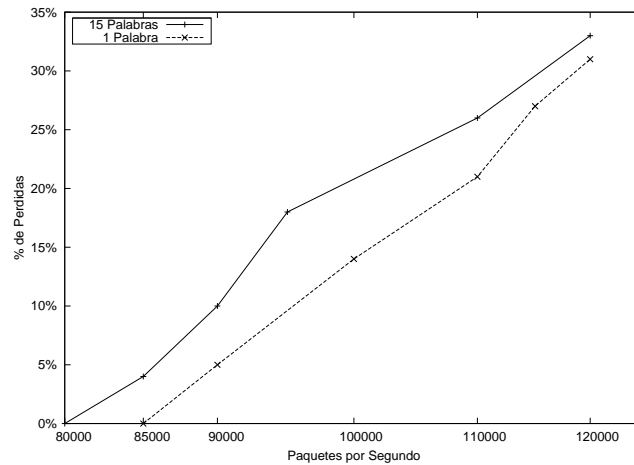


Figura 5.6: Retardo mínimo UTL

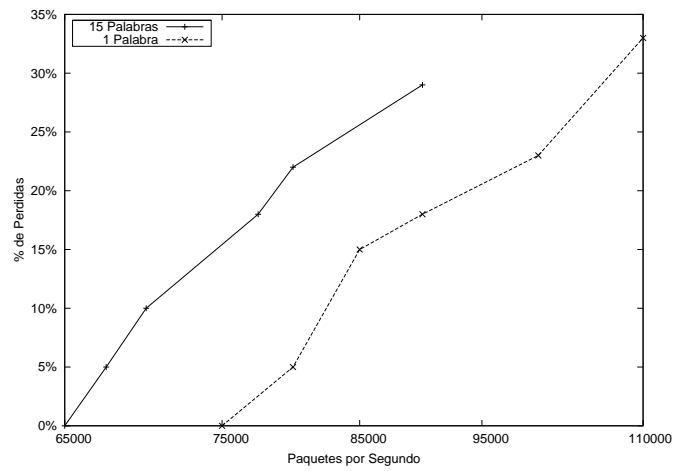


Figura 5.7: Retardo promedio UTL

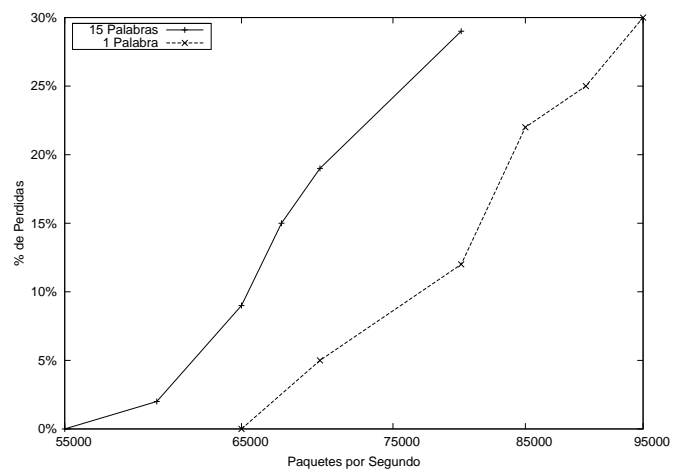


Figura 5.8: Retardo máximo UTL

(Falta la comparativa inter-algoritmos)

## 5.4. Cache

(Falta Mejorar y agregar el grafico) Se probara el funcionamiento del sistema incluyendo la cache implementada en software. Para ello, se efectuara una toma de datos en la cual se compararan 2 sucesiones: la primera de ella resultara en fallos al no estar presente ninguno de los valores.

Puede notarse que, en el caso de que la búsqueda termine en un fallo, se introduce un retardo adicional (si se compara con el escenario en el cual no existe la cache). Ello se debe a la búsqueda que se efectúa en la cache antes de hacerlo propiamente en la tabla de ruteo, tanto en la implementación linked-list como en la implementación unibit-trie.

## Capítulo 6

# Conclusiones

# Bibliografía

# Appendices

## 6.1. Configuración del Hardware

| Feature        | Description  |
|----------------|--|
| FPGA           | <ul style="list-style-type: none"><li>■ Cyclone II EP2C35F672C6 with EPCS16 16-Mbit serial configuration device.</li></ul>   |
| I/O Interfaces | <ul style="list-style-type: none"><li>■ Built-in USB-Blaster for FPGA configuration</li><li>■ Line In/Out, Microphone In (24-bit Audio CODEC)</li><li>■ Video Out (VGA 10-bit DAC)</li><li>■ Video In (NTSC/PAL/Multi-format)</li><li>■ RS232</li><li>■ Infrared port</li><li>■ PS/2 mouse or keyboard port</li><li>■ 10/100 Ethernet</li><li>■ USB 2.0 (type A and type B)</li><li>■ Expansion headers (two 40-pin headers)</li></ul> |

|                   |   |
|-------------------|---|
| Memory            | <ul style="list-style-type: none"> <li>■ 8 MB SDRAM, 512 KB SRAM, 4 MB Flash</li> <li>■ SD memory card slot</li> </ul>  |
| Displays          | <ul style="list-style-type: none"> <li>■ Eight 7-segment displays</li> <li>■ 16 x 2 LCD display</li> </ul>  |
| Switches and LEDs | <ul style="list-style-type: none"> <li>■ 18 toggle switches</li> <li>■ 18 red LEDs</li> <li>■ 9 green LEDs</li> <li>■ Four debounced pushbutton switches</li> </ul> |
| Clocks            | <ul style="list-style-type: none"> <li>■ 50 MHz clock</li> <li>■ 27 MHz clock</li> <li>■ External SMA clock input</li> </ul>  |

La FPGA incluida en la placa es una Cyclone II EP2C35 cuyas especificaciones son:

| Feature               | Description |
|-----------------------|-------------|
| LEs                   | 33216       |
| Total RAM bits        | 483840      |
| Embedded multipliers  | 35          |
| PLLs                  | 4           |
| Maximum user I/O pins | 475         |